

変分オートエンコーダーを用いた乳幼児期の 語彙発達過程の探索

萩原 広道^{1,2,*} 水谷 天智³ 山本 寛樹^{2,4,5} 阪上 雅昭³

¹ 東京大学 ² 日本学術振興会 ³ 京都大学 ⁴ 北陸先端科学技術大学院大学 ⁵ 大阪大学

Exploring young children's vocabulary development trajectories using variational autoencoders

Hiromichi Hagihara^{1,2,*} Tenchi Mizutani³ Hiroki Yamamoto^{2,4,5} Masa-aki Sakagami³

¹ *The University of Tokyo* ² *Japan Society for the Promotion of Science* ³ *Kyoto University*

⁴ *Japan Advanced Institute of Science and Technology* ⁵ *Osaka University*

This study aimed to explore young children's vocabulary development using a machine learning technique, variational autoencoder (VAE). The VAE is an unsupervised neural network that maps high-dimensional input data onto a dimension-reduced latent space and then regenerates the data. The complex input features could be visualized in a low-dimensional latent space while maintaining its interpretability. We used parent-reported questionnaire data extracted from a publicly available database, involving American young children ($N = 5,520$) and applied VAE. The two-dimensional latent space in the adopted model demonstrated that vocabulary development had a quasi-one-dimensional structure shaped by an arc. Its rotation and radial directions represented changes in total vocabulary size and individual differences, respectively. We found that some categories in the questionnaire (e.g., Sounds, Animals) were more likely to develop earlier in the outer path of the arc, whereas others (e.g., Action words, Pronouns) tended to develop predominantly in the inner path of the arc. Furthermore, a simulation case study using longitudinal data suggested that some specific lexical items were crucial in characterizing the universality and diversity of different developmental trajectories in the latent space. Our approach will contribute to quantitatively depicting the development of children's vocabulary in a more fine-grained and nuanced manner, providing a synergetic bridge between machine learning and developmental science.

Keywords: language development (言語発達), productive vocabulary (表出語彙), individual differences (個人差), case study (事例分析), machine learning (機械学習), explainable artificial intelligence (説明可能な人工知能)

Received 1 March 2023; Accepted 2023; Available online at J-STAGE 2023

1. はじめに

言語発達は、言語学や心理学、認知科学、情報学といった多様な分野において、重要な探究の対象であり続けてきた。言語は、音韻・語彙・文法・語用論等の諸側面から構成される(萩原, 2021)。そのなかでも、乳幼児期の語彙発達は、後の言語スキル(Borovsky, 2022; Marchman & Fernald, 2008)や学力(Blases et al., 2016; Morgan et al., 2015)の予測因子となったり、非

定型発達児において特異的な発達パターンが観察されたりする(Jiménez et al., 2021; Jiménez & Hills, 2022a, 2022b)ことから、理論的観点のみならず、教育・臨床といった応用的観点からも広く研究されてきた。子どもは、“banana”や“bottle”といった生活中で身近に触れる単語であれば、生後6~9ヶ月頃から理解の兆しを見せ始めるが(Bergelson & Swingley, 2012)、実際に単語を表出するようになるのは生後12ヶ月頃である(Moore et al., 2019)。1歳前半の語彙発達は緩

萩原広道の現所属は大阪大学、東京大学。山本寛樹の現所属はIndiana University, 大阪大学。

ORCID iD: 萩原広道 (<https://orcid.org/0000-0003-3316-600X>), 山本寛樹 (<https://orcid.org/0000-0003-1051-6599>)。本研究の一部は日本物理学会 2023 年春季大会にて報告し

た(阪上他, 2023)。本論文ではさらに、VAEにおける潜在空間について、個々の意味カテゴリーや語彙項目ごとに詳細に検討し考察を深めた。

* 責任著者。E-mail: hiromichi.h@gmail.com

1 やかに進むのに対し、1歳半頃になると、表出語彙の
 2 急激な増加が見られる (小林他, 2013)。英語やフラン
 3 ス語等の多くの言語圏において、初期の語彙には名
 4 詞が多く含まれており、それに対して動詞等他の品
 5 詞の発達は遅れることが知られている (Frank et al.,
 6 2021; Gentner & Boroditsky, 2001)。日本語も例外では
 7 なく、初期の語彙は名詞優位となることが報告され
 8 ている (小椋, 2007; 小椋他, 2016)。なお、中国語や韓
 9 国語等の一部の言語では、初期の語彙は名詞よりも
 10 動詞優位になることが指摘されている (Choi &
 11 Gopnik, 1995; Tardif, 1996)。

12 語彙の発達を調べる手法には、(a) 親子会話等の自
 13 然場面の観察法、(b) 選好注視法や馴化-脱馴化法を
 14 用いた実験心理学的手法、(c) 語彙チェックリスト法
 15 等、様々な種類がある (Ambridge & Rowland, 2013)。
 16 そのうち、予め用意した語彙チェックリストを用い
 17 て養育者からの報告をもとにデータを収集する手法
 18 は、比較的簡便に実施でき、かつ、既に多言語で翻訳・
 19 標準化された質問紙が存在する (Fenson et al., 1993)
 20 ことから、過去数十年にわたり多くの研究で採用さ
 21 れてきた。国際的に最も広く使用されている語彙チ
 22 ャックリストに、マッカーサー・ベイツ乳幼児言語発
 23 達質問紙 (MacArthur-Bates Communicative
 24 Development Inventories: MCDI; Fenson et al., 1993) が
 25 ある。MCDI を用いて収集された語彙データの一部は、
 26 Wordbank と呼ばれるオープンデータベース (Frank et
 27 al., 2016) にて公開されており、公開データに対する
 28 二次利用研究も実施されている (例えば、Frank et al.,
 29 2021; Jiménez & Hills, 2022a)。2023年7月現在、
 30 Wordbank には38の言語からなる94,451件分のMCDI
 31 データが集積され公開されており、個々の研究者が
 32 協力を申し出て Wordbank にデータを提供している。

33 MCDI 等の語彙チェックリストデータに対して解
 34 析を行う場合、およそ600~700の語彙項目について、
 35 表出語彙であれば子どもが「言う」か「言わない」か
 36 を記録したものがデータとなる。語彙チェックリス
 37 トは多次元データとなるため、解釈可能な解析を実
 38 施するためには一般に何らかの集約が必要になる。

39 例えば、各月齢における平均的な表出語彙数や、表出
 40 語彙数の個人差を産出する分析 (Frank et al., 2021)
 41 は、定型的な言語発達の幅を知る上で有用である。こ
 42 れに特定の閾値を設けて、語彙発達に遅れのみられ
 43 るレイト・トーカー (late talker) を特定し、その語彙
 44 発達の特徴を検討した研究も存在する (Beckage et al.,

45 2011; Jiménez & Hills, 2022a; 奥村・小林, 2019)。また、
 46 いくつかの意味または文法カテゴリーごとに語彙数
 47 を集計し、各カテゴリーにおける語彙数の発達の変
 48 化を記述・比較する研究も多くなされてきた (例えば、
 49 Frank et al., 2021)。

50 このように、語彙発達データを用いた従来の研究
 51 では、月齢群や意味カテゴリー等、ある特定のア・プ
 52 リオリな基準によってデータを要約・集計し、それら
 53 を記述・比較することが中心だった。これらの既存手
 54 法に対し、本研究では、語彙発達データをより詳細か
 55 っデータ駆動的に探索する新たな方策として、
 56 Variational Autoencoder (VAE; Kingma & Welling, 2013;
 57 Rezende et al., 2014) という機械学習手法を用いた解
 58 析アプローチを提案する。VAE とは、高次元の入力
 59 データを低次元の潜在空間上に縮減した後、その潜
 60 在空間の情報からデータを再度復元するようにニュー
 61 ャラルネットワークを訓練する教師なし学習の一手
 62 法である。VAE を MCDI の語彙データに適用するこ
 63 とには、以下の利点があると考えられる。第一に、何
 64 百もの語彙項目からなる MCDI の多次元データがも
 65 つ特徴量を、低次元空間に縮約して表現・可視化する
 66 ことが可能になる。第二に、潜在空間から高次元デー
 67 タを復元するという VAE の特質を活用することによ
 68 り、手持ちのデータには存在しない新しい MCDI デ
 69 ータを仮想的に生成できる。第三に、潜在空間へのデ
 70 ータの縮減と、潜在空間からのデータの生成という
 71 これら2つの利点を組み合わせることで、ある特定
 72 の語彙項目の表出確率が、潜在空間上でどのように
 73 分布しているかを詳細かつ容易に把握し、潜在空間
 74 の解釈を進めることができる。第四に、その分布をも
 75 とに各語彙項目を少数のパラメータで特徴づけるこ
 76 とによって、「名詞」「動詞」といったカテゴリーをア
 77 プリオリに仮定することなく、データ駆動的に各語
 78 を分類し、語彙発達過程を議論する新たな視点およ
 79 び定量指標を提供することができる。このように、
 80 VAE は、MCDI における語彙発達の様相をデータ駆
 81 動的に、かつ解釈可能性を担保しながら探索できる
 82 解析アプローチとして優れた手法である。

83 本研究では、MCDI データを VAE に適用する端緒
 84 であるという位置づけから、以下の2点の目的を掲
 85 げる。第一に、MCDI データを用いて学習された VAE
 86 について、その潜在空間の解釈を試みる。具体的には、
 87 表出語彙の発達が潜在空間上でどのようなパターン
 88 として表現・可視化されるかを調べるとともに、

1 MCDI を構成する各意味カテゴリーの表出確率が、潜
 2 在空間上でどのように分布するかを調べる。上述の
 3 通り、VAE では個々の語彙項目ごとに表出確率の分
 4 布を調べることが可能ではあるが、本研究ではまず
 5 潜在空間の大まかな解釈を行う目的から、カテゴリー
 6 一ごとの表出確率の分布を分析対象とすることにし
 7 た。第二に、実在する MCDI の縦断データを用いて、
 8 その発達の経路が潜在空間上でどのように表現され
 9 るかを調べるとともに、もし実際とは異なる経路を
 10 辿った場合にどのような語彙発達の過程が想定され
 11 るかを探索する。これにより、実際に想定される語
 12 彙発達の経路に照らし合わせながら、潜在空間のよ
 13 り詳細な解釈を目指す。

14 2. 方法

15 2.1 対象とするデータセット

16 本研究では、乳幼児期の語彙発達を調査する際に
 17 国際的に広く用いられている MCDI (Fenson et al.,
 18 1993) の回答データを用いた。MCDI は、日本語を含
 19 む多くの言語に翻訳されており (例えば、小椋・綿巻,
 20 2004), 予め用意された語彙チェックリストに対して、
 21 子どもが言えるようになったものを養育者が回答す
 22 ることによってデータを得る。MCDI には、8~18 ヶ
 23 月用の「語と身振り」版と、16~30 ヶ月用の「語と
 24 文法」版の 2 種類がある [脚注 1]。前者は、最初期
 25 の理解語彙・表出語彙を対象としているのに対して、
 26 後者は 3 歳頃までの表出語彙をより広く扱う内容と
 27 なっている。質問紙は Animals (動物の名前), Food and
 28 drink (食べ物・飲み物), Action words (動作語) 等の意
 29 味カテゴリーごとに並んでおり、養育者はそれぞれ
 30 の語彙項目について、「語と身振り」版であれば「わ
 31 からない」「わかるが言わない」「わかる+言う」から
 32 当てはまるものを選び、「語と文法」版であれば「言
 33 う」か「言わないか」を回答する。

34 本研究では、潤沢かつ一部に縦断データを含むア
 35 メリカ英語の「語と文法」版を対象に、Wordbank
 36 (Frank et al., 2016) にて公開されているデータセット
 37 から MCDI データを抽出した (抽出日: 2022 年 2 月
 38 23 日)。同様の手法は Jiménez and Hills (2022a) にも
 39 見られる。このデータセットには、16~30 ヶ月の乳
 40 幼児 5,520 名が含まれており、各児について、22 の
 41 意味カテゴリーに分類される 680 の語彙項目につい
 42 ての表出語彙データが含まれている。このうち、1,349
 43 名のデータは、異なる時期に同じ子どもから複数回
 44 にわたりデータを収集した縦断データとなっている。

45 データ収集の回数およびデータ収集時の月齢は子ど
 46 もによって異なるが、計 3,223 回分のデータが縦断デ
 47 ータと見なされる。

48 2.2 Variational Autoencoder (VAE)

49 VAE は、高次元の入力データを低次元の潜在空間
 50 に縮減した後、再度データを復元するようにネット
 51 ワークを訓練する教師なし学習である (Kingma &
 52 Welling, 2013; Rezende et al., 2014)。本研究で用いた
 53 VAE の構成を図 1 に示す。

54
 55 [図 1 を挿入] [脚注 2]
 56

57 高次元データを縮減する簡便でよく知られた類似
 58 手法として、主成分分析が挙げられる。実際に、MCDI
 59 を使った既存研究でも主成分分析を用いた報告が存
 60 在する (Frank et al., 2021)。しかし、主成分分析は変
 61 数を線形変換し低次元空間に射影することによって
 62 データを縮減するため、表現力や低次元空間の解釈
 63 可能性といった点で限界もある。例えば、非線形な変
 64 換ができないことや、低次元空間において実データ
 65 がない位置が元の高次元空間のどこに対応するかが
 66 分からないといった問題点が挙げられる。

67 これらの限界を克服する手法として、Autoencoder
 68 (AE; Hinton & Salakhutdinov, 2006) が挙げられる。AE
 69 は、高次元の入力ベクトル \mathbf{x} を低次元の潜在変数ベク
 70 トル \mathbf{z} に変換する encoder と、 \mathbf{z} を高次元ベクトル \mathbf{x} に
 71 復元する decoder の 2 つのニューラルネットワーク
 72 から構成される。複雑な関数を表現するために、
 73 encoder と decoder のそれぞれに中間層を置き、活性
 74 化関数により非線形な変換を行うことで、モデルの
 75 表現力を高めることができる。このため、AE は非線
 76 形化された主成分分析として位置づけられる。さら
 77 に、decoder を用いることで、潜在空間上の任意の座
 78 標から未観測データを仮想的に生成できることも
 79 AE の利点である。

80 VAE ではさらに、入力ベクトル \mathbf{x} から潜在空間ベク
 81 トル \mathbf{z} を直接学習するのではなく、 \mathbf{z} はある分布から
 82 のサンプリングによって得られるものとし、分布の
 83 パラメータを入力データから学習するようにモデル
 84 化する点に特徴がある。性質がよく分かっている正
 85 規分布 $N(\boldsymbol{\mu}, \boldsymbol{\Sigma})$ を採用しモデルの自由度に制限をかけ
 86 ることで、潜在空間の解釈可能性を高めている。例え
 87 ば、同じ入力 \mathbf{x} に対して、試行の度に異なる潜在変数
 88 \mathbf{z} がサンプリングされるが、それらの異なる \mathbf{z} に対し

1 ても出力は元の \mathbf{x} と同じになるように学習が進む。そ
 2 の結果、潜在空間において距離の近い点同士は入力・
 3 出力空間においても距離が近くなるため、潜在空間
 4 の解釈が容易になる。また、AE 同様に decoder から
 5 潜在空間上の任意座標について仮想的なデータを生
 6 成できる。VAE を構成する encoder と decoder を行き
 7 来することで、実データの有無に関わらず潜在空間
 8 と元の高次元データとの対応関係を把握できること
 9 から、VAE の潜在空間には高い解釈可能性が期待さ
 10 れる。なお、正規分布からのサンプリングという拘束
 11 によってモデルの表現力が低下することが危惧され
 12 るが、encoder と decoder を構成するニューラルネッ
 13 トワーク自体の表現力が高いので、VAE は依然とし
 14 て高い表現力が維持される。

15 このように、VAE では正規分布からのサンプリング
 16 によって入力データと潜在空間との対応関係を構
 17 築する。潜在空間の事後分布は、多変量標準正規分布
 18 $N(\mathbf{0}, \mathbf{I})$ を事前分布として、変分ベイズ法によって推
 19 定される。VAE の学習手続きについては、付録の概
 20 説を参照されたい。

21 2.3 モデルの学習および分析方針

22 VAE の学習に用いた入力データは、680 語×5,520
 23 名であった。したがって、モデルの入力および出力次
 24 元は 680 次元となる。入力データの成分は、「言う」
 25 (=1)、「言わない」(=0) の 2 値である。モデルの中間
 26 層はそれぞれ 512 次元とし [脚注 3]、活性化関数に
 27 は ReLU を用いた。本研究では、潜在変数の可視化を
 28 容易にしモデルの解釈可能性を高めるために、潜在
 29 空間の次元は 2 次元とした。潜在空間の次元数は自
 30 由に設定することが可能ではあるが、解釈可能性を
 31 優先して次元数を 2 次元に留める方法は、主成分分
 32 析や AE を用いた他の発達研究においても用いられ
 33 ている (例えば、Westermann & Mareschal, 2014)。出
 34 力層の活性化関数には sigmoid を用いた。潜在空間へ
 35 のサンプリングを除いて、隣接する層同士は全結合
 36 するようにモデルを実装した。

37 VAE の学習は以下の手続きによって進めた。まず、
 38 誤差関数の最適化手法には Adam を用いた。初期値
 39 をランダムに変えながら 1,000 通りの学習を行い、デ
 40 ータを 7 分割したクロスバリデーションによる検証
 41 誤差が最も小さい結果を最終的なモデルとして採用
 42 した。その際、検証誤差が相対的に小さい複数の結果
 43 において潜在空間の特徴を目視にて確認したところ、
 44 いずれも類似の構造を有していた (潜在空間の具体

45 的な特徴については 3.1 節を参照)。したがって、採
 46 用されたモデルのみが特異な構造をもつわけではな
 47 いことは確かめられている。

48 採用されたモデルの encoder と decoder を駆使して、
 49 以下の 2 つの観点から潜在空間の解釈を試みた。第 1
 50 の観点は、潜在空間上で、表出語彙数の発達がどのよ
 51 うなパターンとして表現・可視化されるかを調べる
 52 ことである。潜在空間には、個人ごとの実データ点を
 53 投射できる。これらのデータ点に加えて、MCDI 上で
 54 語彙数が最小 (=全成分が 0) および最大 (=全成分
 55 が 1) となる仮想データを生成し、同様に潜在空間上
 56 に投射することで、潜在空間における発達の方向性
 57 を特定した。さらに、decoder を用いて、潜在空間上
 58 の任意の点から仮想的な MCDI データを生成し、そ
 59 の結果をもとに総表出語彙数の期待値および各語の
 60 表出確率を算出した。なお、decoder によって出力さ
 61 れる 680 次元のデータの各成分は、本来の MCDI 入
 62 カデータ (2 値の離散値) とは異なり、0 から 1 の範
 63 囲における連続値で与えられる。この値は、各語がど
 64 のくらいの確率で「表出する」と回答されるかの表出
 65 確率を示している。そして、各成分の表出確率の総和
 66 をとったものは、潜在空間上のその座標における総
 67 表出語彙数の期待値と見なされる。以降、この期待値
 68 を decoder から得られる総表出語彙数と表記する。こ
 69 れら decoder から生成されたデータをもとに、潜在空
 70 間上で総表出語彙数や各語の表出確率の等高線を描
 71 出することで、潜在空間における発達の向きを可視
 72 化し、潜在空間を解釈した。

73 第 2 の観点は、MCDI の縦断データを用いて、ある
 74 特定の個人が潜在空間上でどのような発達経路を辿
 75 りながら表出語彙を増やしていくかを探索すること
 76 である。事例分析として、異なる月齢で複数のデー
 77 点をもつ参加児を 1 名選び、表出語彙の変化を潜在
 78 空間上に図示した。さらに、もし実際とは異なる経路
 79 を辿った場合に、どのような表出語彙発達の過程が
 80 生じるかを、個々の語彙項目レベルで詳細に調べた。

81 なお、本研究における潜在空間の図示・解釈には、
 82 \mathbf{z} の事後分布 $N(\boldsymbol{\mu}, \boldsymbol{\Sigma})$ のうち、代表値となる $\boldsymbol{\mu}$ のみを用
 83 いることとした。

84 3. 結果

85 3.1 潜在空間の特徴とその解釈

86 本研究で採用したモデルの学習結果について、2 次
 87 元潜在空間を可視化したものを図 2 に示す。図の各
 88 点は、MCDI の実際のデータ点 ($N=5,520$) を encoder

1 によって潜在空間上にプロットしたものである。

2

3 [図 2 を挿入]

4

5 まず、表出語彙数の発達の始点および終点を特定
6 することで、MCDI における発達経路が全体として潜
7 在空間上のどこからどこへ進むのかを調べた。

8 MCDI の語彙項目 680 語を全て表出しない場合 (全
9 成分が 0) と、全て表出する場合 (全成分が 1) の仮
10 想的なデータを生成し、これらを encoder によって潜
11 在空間上に投射した。本研究では、これらの点をそれ
12 ぞれ birth point, end point と呼ぶ。その結果、**図 2-a**
13 の通り、表出語彙数の発達は birth point から end point
14 へと向かって、厚みのある弧のような擬次元構造
15 として表現されることが分かった。実際に、MCDI の
16 縦断データを月齢の向きに沿って潜在空間上にプロ
17 ットすると、birth point から end point に向かって時計
18 回りに語彙の発達が進む様子が明確に表現された
19 (**図 2-b**)。

20 次に、MCDI における総表出語彙数と潜在空間上の
21 座標との対応関係を調べることで、擬次元構造の
22 さらに詳細な解釈を試みた。具体的には、潜在空間上
23 のプロット範囲において 30×30 の格子点を作り、そ
24 の各点から decoder を用いて仮想的な MCDI データ
25 を生成した。これは、潜在空間上に一様に分布する
26 900 人分の MCDI データを新たに生成することに対
27 応する。生成されたデータから総表出語彙数を算出
28 し、そのデータをもとに潜在空間上に総表出語彙数
29 の等高線を描いた (**図 2-c**)。この等高線からも、語彙
30 数が birth point から end point に向かって、定型的に
31 は時計回りに発達が進む (表出語彙数が大きくなる)
32 ことが見て取れる。すなわち、擬次元構造を弧とし
33 て見た場合、回転方向は総語彙数の変化を示してい
34 る。一方、動径方向に注目すると、弧の厚みに対して
35 中央を通る経路は最も定型的な発達経路だと見なさ
36 れる。実際に、MCDI データを総表出語彙数が小さい
37 順に 300 名ごとの bin に区切り、各 bin に含まれるデ
38 ータに対して潜在空間における平均座標を算出し描
39 写したところ (**図 2-c**, 緑の点)、それらの平均点は動
40 径方向に対して中央を通るように布置された。本研
41 究では、この経路を潜在空間における平均発達曲線
42 と呼ぶこととする。平均発達曲線は、総語彙数の等高
43 線に対しておよそ垂線となっていた。したがって、動
44 径方向におけるデータの分布は、総語彙数が同程度

45 の場合の個人差・発達の多様性を表現していると想
46 定される。

47 総表出語彙数の等高線で見たとときに同程度となる
48 点同士には、どのような違いがあるだろうか。これに
49 ついて検討するために、MCDI を構成する 22 の意味
50 カテゴリーについて、潜在空間における表出確率の
51 分布を調べた。上述の手続きと同様、decoder を用い
52 て生成された仮想的な MCDI データから、各語の表
53 出確率をカテゴリーごとに平均し、潜在空間上に等
54 高線を描いた (**図 3**)。同時に、総表出語彙数が全体の
55 約 50% (=330~350 語) となるデータ点を図示した。
56 各意味カテゴリーの表出確率が 50%となる等高線と、
57 総表出語彙数が 50%となる帯とを見比べることで、
58 総語彙数が同程度である場合に、どのような語彙発
59 達の多様性が見られるかを探索した。具体的には、各
60 意味カテゴリーの等高線を参照しながら、擬次元
61 構造の外側と内側とを比較した。

62

63 [図 3 を挿入]

64

65 例えば、Sounds カテゴリーは“moo”や“woof woof”
66 等の擬音語に対応するカテゴリーであり、早期に習
67 得されやすい語彙群だとされる (Laing, 2019a, 2019b)。
68 緑色の帯の外側に注目すると、Sounds の等高線は既
69 に表出確率 75%を越えているが、内側に注目すると、
70 この等高線はまだ 50~75%の間に留まる。すなわち、
71 総表出語彙数が同程度の場合、Sounds カテゴリーは
72 擬次元構造の外側において発達が早く、内側にお
73 いて発達が遅いという特徴をもつ。Sounds 以外にも、
74 いわゆる具体名詞に分類される意味カテゴリー
75 (Animals から People まで) の多くは、同様に擬次元
76 構造の外側の方が、内側よりも表出確率が高くな
77 る傾向を有していた。

78 これに対して、“me”や“you”等の Pronouns (代名
79 詞) カテゴリーは、内側と外側の関係性が逆転するこ
80 とが分かった。すなわち、総表出語彙数が 50%とな
81 る緑色の帯の外側に注目すると、Pronouns の等高線
82 は表出確率 25%を下回っている一方で、内側の方で
83 は 25%の等高線を上回っていた。したがって、総表
84 出語彙数が同程度の場合、Pronouns カテゴリーは擬
85 次元構造の内側において発達の優位であるとい
86 える。同様の傾向は、文法的には述部 (動詞や形容詞)
87 に分類される Action words や Descriptive words, 閉じ
88 た語に分類されるカテゴリー群 (Time words,

1 Quantifiers 等) にも見られた。
 2 別の観点として、25%の等高線から 75%の等高線
 3 に至るまでの区間の広さを意味カテゴリーごとに比
 4 較することもできる。例えば、図 2 で見た平均発達
 5 曲線に沿って、図 3 の等高線の区間の広さを見てみ
 6 ると、Action words では 25%から 75%に至るまでの区
 7 間は相対的に狭くなる。これは、総表出語彙数でいう
 8 ところの約 250~460 語までに対応しており、この小
 9 さい幅の総語彙数の変化の間に、Action words 全体の
 10 表出語彙が一気に増加することを示している。一方
 11 で、People では等高線が 25%から 75%に至るまでの
 12 間に、平均発達曲線に沿った総表出語彙数は約 150~
 13 550 語に増える。つまり、Action words と比較して、
 14 People のカテゴリー全体の語彙発達は緩徐に進むこ
 15 とが示された。

16 以上のように、VAE の encoder と decoder を用いて
 17 表出語彙の発達の向き、擬次元構造における内側・
 18 外側の比較を行うことにより、潜在空間が解釈可能
 19 となることが明らかとなった。

20 3.2 縦断データを使った事例分析

21 潜在空間についてさらに詳細な解釈を進めるため、
 22 MCDI の縦断データを用いた事例分析を実施した。単
 23 一事例の分析であるため、得られた知見の一般化可
 24 能性には限界を伴うが、個々の子どもの語彙発達の
 25 過程を定量的かつ詳細に捉え可視化するアプローチ
 26 としての VAE の活用法を提示するという点で、本節
 27 の分析には方法論的な意義も認められると考える。

28 本事例の MCDI データは、16 ヶ月~29 ヶ月までの
 29 間に計 9 回収集された。実データ点を潜在空間上で
 30 月齢順に繋いだものを図 4 の実線で示す。この発達
 31 軌跡を見ると、始点から O まで、および P は、平均
 32 発達曲線に近い位置を通っている。それに対して、O
 33 →C→P の区間は、動径方向において一度大きく右側
 34 に逸脱しており、平均発達曲線に対して内側を回っ
 35 ている。この内回りの迂回は、平均的な発達経路と比
 36 べてどのような語彙発達の特徴をもつだろうか。ま
 37 た、もし当該事例が内回りではなく、反対に大きく外
 38 側を迂回するような経路を辿っていたら、MCDI デー
 39 タはどのような様相を呈しただろうか。以下では、こ
 40 うした仮想的な発達経路を探索することで、異なる
 41 発達経路間の特徴を比較し、擬次元構造の動径方
 42 向、すなわち語彙発達の個人差・多様性についての理
 43 解を深める。さらに、decoder を用いて個々の語の単
 44 位で表出確率を計算することにより、発達経路ごと

45 の特徴を顕著に示す語彙項目を特定し、潜在空間の
 46 より詳細な解釈を目指す。

47
 48 [図 4 を挿入]
 49

50 実データと比較する仮想的な発達経路は、次の手
 51 順によって定めた。まず、実データにおいて内側に迂
 52 回する直前の点 O、および再び平均的な発達経路に
 53 戻ってくる点 P を定義した。簡便のため、定型的な
 54 発達経路は OP を結ぶ直線とし、この直線上で、
 55 decoder で生成される総表出語彙数が実データ点 C と
 56 等しくなる点 B を定めた。これは、各経路における
 57 発達の違いを探索するには、総表出語彙数が同じに
 58 なる点同士で比較するのが適切だと考えたためであ
 59 る。さらに、点 B がちょうど中点になるように直線
 60 A'C を定め、直線 OA'上で総表出語彙数が点 C と等
 61 しくなるように点 A を定めた。点 C に対応する実デ
 62 ータの総表出語彙数点は 29 語であり、decoder で求
 63 めた点 A、B、C の総表出語彙数は 25.4 語であった。
 64 こうして定められた外回り (O→A)、中央 (O→B)、
 65 内回り (O→C) の 3 つの発達経路に対して、680 語す
 66 べての語彙項目について decoder から求められる各
 67 語の表出確率の増分を算出した。この値を比較する
 68 ことで、発達経路によって表出されやすい語彙項目
 69 の差異を調べたり、逆に発達経路によらない普遍的
 70 な特徴を抽出したりできると考えた。

71 表 1 は、3 つの発達経路において、表出確率の増分
 72 が大きかった語彙項目上位 10 語を抽出したものであ
 73 る。外回りと中央の経路では、ともに“ball”の表出
 74 確率の増分が突出して大きかったのに対し、内回り
 75 経路では“go”の表出確率の増分が最大となった。“go”
 76 は表中で唯一 Action words (動作語) に属する語彙項
 77 目であり、内回りでは他にも“me”や“mine”といっ
 78 た Pronouns が見られる点に特徴があった。一方で、
 79 外回りで顕著なのは“moo”や“woof woof”等の Sounds
 80 が上位に多く現れた点である。これらの知見は、擬一
 81 次元構造では外側で擬音語や具体名詞が、内側で動
 82 詞・形容詞や閉じた語が発達的に優位になるという
 83 上述の知見と合致する。ただし、“go”は実際には
 84 “Let's go!”や“Where's it gone?”といった定型句に
 85 埋め込まれる形で現れやすいという報告もあるため
 86 (深田, 2018; Theakston et al., 2002), 必ずしも特定の行
 87 為を示す語とは限らない点には注意を要する。

88

1 [表 1 を挿入]

2
3 3 つの発達経路すべてに当てはまる共通点も存在
4 した。例えば, “shoe” はどの発達経路でも表出確率
5 が顕著に増加していた。また, どの発達経路でも表 1
6 のリストには Games and Routines (日課とあいさつ)
7 が複数含まれていた。ただし, 意味カテゴリーは同じ
8 でも, リストに含まれる語彙項目それ自体は経路ご
9 とに異なっており, 意味カテゴリーとは別に, 個々の
10 語も発達の多様な特徴をもつことが分かった。

11 実際に, 外回り・中央で表出確率の増分が最大となる
12 “ball” と, 内回りで表出確率の増分が最大となる
13 “go” の 2 つの語彙項目について, 表出確率の等高
14 線を描いたところ (図 5), 個々の語彙項目がもつ発
15 達の特徴の多様性はより顕著に確認できた。例えば,
16 “ball” の場合, 確かに外回り O→A の経路を辿ると
17 等高線に対して垂直に進むことになるので, 表出確
18 率が増えやすくなる。しかし, この語彙項目は点 O の
19 時点で既に表出確率 25%を上回っているため, 内回
20 り O→C であっても表出確率は 50%近傍に迫ってい
21 た。これに対して, “go” は点 O の時点では表出確率
22 は非常に低く, 点 C に至ってようやく 25%を上回る
23 程度であった。このように, 発達経路と各語の等高線
24 とを重ね合わせることで, 外回りと内回りのどちら
25 で表出確率が増えやすいかという点のみならず, 表
26 出確率でみたときにどのような発達フェーズにある
27 かにについても同時にかつ詳細に探索できる可能性が
28 示唆された。

29
30 [図 5 を挿入]

31
32 さらに, 外回り経路と内回り経路との間で表出確
33 率の差分を取ってみると (図 6), ある特定の語彙項
34 目が, 特定の発達経路に対して強い感受性をもつこ
35 とが確認された。これまで見てきたように, 外回りに
36 において特徴的なのは全体として擬音語や具体名詞で
37 あり, 内回りの場合はそれらが動作語や代名詞等の
38 カテゴリーに推移する。しかし, 個々の語彙項目に注
39 目すると, 外回りの場合では “ball” 等が経路をよく
40 特徴づける重要な語であることがうかがえる。同様
41 に, 内回りの場合は “go” 等の語が当該経路において
42 代表的な語であることが分かる。

43
44 [図 6 を挿入]

45
46 このように, VAE を用いることで, 実際の縦断デ
47 ータが辿った発達軌跡と, それとは異なる別の軌跡
48 とを仮想的に比較することが可能である。以上の探
49 索によって, 潜在空間のより詳細な解釈が可能とな
50 ることが示唆されただけでなく, 語彙発達の多様性
51 を個人や語といったよりミクロなレベルで調べられ
52 る可能性が示された。

53 4. 考察

54 本研究では, VAE という機械学習の手法を MCDI
55 データに適用し, 潜在空間において語彙発達がどの
56 ように表現・可視化されるかを調べた。その結果, 2
57 次元潜在空間において, 語彙発達は擬一次元構造を
58 もつこと, その構造を弧として見た場合に, 回転方向
59 は総語彙数の変化を, 動径方向は総語彙数が同程度
60 の場合の個人差または発達の多様性を, それぞれ表
61 現していることが明らかとなった。また, 擬一次元構
62 造の動径方向における多様性について, 弧の外側の
63 経路で表出されやすい意味カテゴリー (Sounds 等)
64 と, 内側の経路で表出されやすい意味カテゴリー
65 (Pronouns 等) とが存在することが示された。さらに,
66 仮想的に生成された縦断データを用いて事例を分析
67 した結果, 異なる発達経路によって表出されやす
68 くなる語彙項目に相違点や共通点があることを明らか
69 にした。それらの発達経路を特徴づけるのは意味カ
70 テゴリーだけでなく, 特定の語彙項目が重要な役割
71 を担う可能性が示された。

72 4.1 語彙発達過程を詳細に調べるツールとし 73 ての VAE の潜在空間

74 2次元潜在空間上に 680次元の MCDI データを落
75 とし込むことにより, 定型的な語彙発達の向き (回転
76 方向) と, それに付随する語彙発達の多様性 (弧の厚
77 み:動径方向) とが一目で確認できる形で可視化され
78 た。MCDI データを VAE に適用することで, encoder
79 を用いて特定の事例における MCDI データを潜在空
80 間上に投射したり, decoder を用いて潜在空間上の任
81 意の座標と MCDI データとを対応づけたりする等,
82 総表出語彙数, 意味カテゴリー, 語彙項目のそれぞれ
83 のレベルにおいて, 語彙発達の過程を詳細に検討で
84 きることが示された。特に, 擬一次元構造の外側の経
85 路は, Sounds をはじめ, Animals や Toys などの具体
86 名詞がより早期に表出されやすい経路である一方で,
87 内側の経路は, 動詞や形容詞などの述部, 閉じた語が
88 より早期に表出されやすい経路であることが可視化

1 された. このうち, 名詞と動詞との対比関係は, 言語
 2 発達研究において広く関心が寄せられてきたトピック
 3 であり (Gentner, 1982; Gentner & Boroditsky, 2001),
 4 名詞語彙数や動詞語彙数がそれぞれどのような別の
 5 認知機能と関連するか等が調べられている (例えば,
 6 Hagihara et al., 2022a, 2022b; Zuniga-Montanez et al.,
 7 2021). 単なるカテゴリーの語彙数を超えて, 潜在空
 8 間上での位置と認知発達との関連を探索することで,
 9 発達の個人差を新たに類型化したり, 語彙発達と認
 10 知発達との新たな関係性を見出したりすることが今
 11 後の研究として期待される. 古典的な研究では, 早期
 12 の語彙発達には, モノの名前を中心に語彙を構成す
 13 る「参照型」(referential) と, 対人的な語を中心に語
 14 彙を構成する「表出型」(expressive) に大別されると
 15 という見方 (Nelson, 1973) や, 個々の単語の習得から
 16 始める「分析型」(analytic) と, 決まり文句から習得
 17 して後から単語に分解する「全体型」(gestalt/holistic)
 18 とに大別されるという見方 (Peters, 1977) 等が提案
 19 されてきた. VAE を用いることで, これらの古典的
 20 な分類の妥当性を定量的に吟味したり, データ駆動
 21 的な分類によってこれまで想定されていなかった新
 22 たな語彙発達のスタイルが見つかったりする可能性
 23 が考えられる.

24 また, 潜在空間から得られた特徴量から, 各語彙項
 25 目がどのような発達の特徴をもつかを, 小数のパラ
 26 メータによって特徴づけることが可能かもしれない.
 27 例えば, 総表出語彙数が 50%となる等高線に対して,
 28 その語の表出確率が 50%になる等高線が相対的にど
 29 のような位置にあるかを定量化することで, その語
 30 の習得が早い遅いかの情報を抽出することができ
 31 る. また, 25%と 75%の等高線の幅の広さを定量化す
 32 ることで, その語が総表出語彙数に対してどの程度
 33 急峻または緩徐に習得されるかの情報が得られる.
 34 従来, 各語の発達の特徴は, その表出が 50%を越え
 35 る月齢 (=Age of Acquisition: AoA) として定量的に
 36 評価され, 発達研究に活用されてきた (例えば,
 37 Barrow et al., 2019). しかし, 本研究で探索したよう
 38 に, 語彙項目ごとの発達の特徴は, 単なる習得の早い
 39 /遅いだけには還元されない. 潜在空間上にプロッ
 40 トした等高線の情報から, 各語がもつ発達の多様性
 41 を定量的な特徴量として抽出することで, 語彙発達
 42 のモデル研究を一層推し進めることが可能になると
 43 期待される.

44 事例分析で確認されたように, 異なる発達経路に

45 対して表出確率が大きく変化する語彙項目には違い
 46 があった. このことは, 本事例のように総表出語彙数
 47 が少ない場合, ある特定の語を表出するかどうかで
 48 潜在空間上の座標が変化しやすいことを示唆する.
 49 複数の仮想的発達経路を比較し, それぞれの発達経
 50 路の特殊性を示す少数の語彙項目を特定できれば,
 51 それらの語は語彙発達の多様性の向きを調べる重要
 52 なキーと見なせるだろう. これらの少ない語彙項目
 53 についてデータを収集することで, ある子どもがど
 54 のような発達経路を辿りながら語彙を発達させてい
 55 くかを予測できる可能性がある. MCDI には, 実施の
 56 簡便化のためにいくつかの短縮版が存在し, その中
 57 には短縮版の得点から本来の MCDI で測られる総表
 58 出語彙数を推定できるものもある (Kachergis et al.,
 59 2022; Mayor & Mani, 2019). この方法では単に総表出
 60 語彙数しか予測できないが, VAE の潜在空間をもと
 61 に特定の発達経路に特に感受性の高い語彙をリスト
 62 化することで, 語彙発達の個人差の度合いを考慮し
 63 た短縮版 MCDI を開発できるかもしれない. こうし
 64 て開発した MCDI を用いることで, 子どもの語彙発
 65 達のタイプを特定し, 後の語彙発達の経路を予測し
 66 たり, 語彙発達のタイプに適した言語入力の方法に
 67 ついて提案したりする等の応用可能性が見込まれる.

68 加えて, 異なる発達経路のいずれにおいても表出
 69 確率が増えやすい語彙項目が存在した点も興味深い.
 70 このことは, 語彙発達には多様性だけでなく普遍性
 71 も備わっていることを示唆する. 例えば, 本研究で確
 72 認された“shoe”は, 名詞優位となる外回り経路でも,
 73 動詞優位となる内回り経路でも, 表出確率の増分が
 74 上位となる語のリストに含まれていた.“shoe”は明
 75 らかに「靴」という具体名詞だが, 靴には「履く」と
 76 いう特定の関連行為も存在する. このような語の場
 77 合, 特に語彙発達の初期には意味的に〈モノ〉と〈行
 78 為〉とが未分化になることが指摘されている (萩原・
 79 阪上, 2019; Hagihara et al., 2022b). “shoe”には名詞的
 80 な側面と動詞的な側面の両面が意味論として含まれ
 81 ていたために, 外回り・内回りの両経路において表出
 82 しやすかった可能性が考えられる. VAE を用いた仮
 83 想的発達経路の生成によって, こうした語彙発達の
 84 普遍的性質についてもさらなる探究が可能になるか
 85 ももしれない.

86 4.2 今後の展望

87 本研究は, VAE を用いて MCDI データを分析する
 88 という, 強い探索的性質をもつ. 手法およびデータの

1 特質から、当然限界も存在する。まず、本研究では、
 2 モデルの解釈可能性を高めるために潜在空間を 2 次
 3 元としたが、より高次元のモデルの方が適合性が高
 4 かった可能性がある。ただし、本研究で用いた MCDI
 5 データを予備的に主成分分析した場合、2~3 次元で
 6 十分な説明力があつたため、VAE においても低次元
 7 の潜在空間に十分に特徴が埋め込まれていると期待
 8 される。また、潜在空間の図示・解釈には、事後分布
 9 の平均 μ のみを使用したか、分散 Σ^2 も考慮する方がよ
 10 り適切である。特に、潜在空間上の異なる座標同士で
 11 は、対応する分散の大きさも異なっているため、例え
 12 ば潜在空間における 2 つの座標の距離を解析する場
 13 合などには、分散を考慮した定式化が求められる。

14 次に、MCDI は子どもの発話を直接調べたものでは
 15 なく、あくまでも養育者による報告に基づいた間接
 16 データである。そのため、本研究で得られた潜在空間
 17 上の発達経路が、子どもの表出語彙発達を本当に反
 18 映しているのか、それとも単に養育者にとっての観
 19 察しやすさを反映しているのか区別することは容易
 20 ではない。実際に、MCDI は他の言語指標とよく相関
 21 するという報告もある一方で (Ambridge & Rowland,
 22 2013)、特に動詞については子どもの実際の語彙が適
 23 切に反映されていないという問題点も指摘されてい
 24 る (Arunachalam et al., 2022)。近年は、子どもにウェア
 25 アラブルデバイスを装着して、直接発話データを収
 26 集するという取り組みも盛んに行われているため
 27 (例えば、Mitsven et al., 2022)、MCDI による間接デー
 28 タとそのような直接データとの統合が将来的には期
 29 待される。

30 最後に、VAE を MCDI データに当てはめる際の限
 31 界として、end point に近づくほど、語彙発達の個人差
 32 が潜在空間上に適切に反映されていない可能性が挙
 33 げられる。MCDI の語彙リストには上限 (680 語) が
 34 あるため、表出語彙数がリストの上限値に近づくほ
 35 ど、ほとんどの語彙が「言う」として計上される。そ
 36 のため、リストに含まれていない語彙項目を考慮す
 37 れば、end point 近傍の語彙発達は本来であればより
 38 高い多様性をもっていると考えられる。

39 本研究は、VAE を MCDI データに当てはめ、デー
 40 タ駆動的に語彙発達の様相を議論するための基盤を
 41 提供するものである。本研究で得られた知見から、今
 42 後どのような展望が期待されるだろうか。ここでは 4
 43 点ほど挙げる。まず、各語彙項目の表出確率が潜在空
 44 間上でどのように分布するかを調べることによって、

45 各語がもつ特徴量を小数のパラメータで規定し、そ
 46 れらのパラメータによって乳幼児期の語彙をデータ
 47 駆動的に再分類することが挙げられる。「名詞」「動詞」
 48 といった文法カテゴリー、または「生き物」「小さな
 49 家具」といった意味カテゴリーによって各語彙をト
 50 ップダウン式に集約してしまふのではなく、潜在空
 51 間上における特徴量からボトムアップ式に、各語彙
 52 を平等に扱いながら再分類することによって、発達
 53 的観点から見た場合の語彙の分類法を新たに確立で
 54 きるかもしれない。実際に、Roy et al. (2015) は、語
 55 の文法カテゴリーに依らず、空間的・時間的・言語文
 56 脈的に特異性の高い語ほど表出語彙として早期に習
 57 得されやすいことを指摘しており、発達的な観点に
 58 おいては、ア・プリオリな語彙の集約方法が必ずしも
 59 適切ではないことを示唆している。

60 次に、潜在空間から得られた各語の発達を特徴づ
 61 けるパラメータが、語のどのような特性と関係する
 62 かを探索することが挙げられる。例えば、語のイメー
 63 ジのしやすさ (Ma et al., 2009) や具体性 (Brysbart et
 64 al., 2014) といった語彙それ自体に内包された特性が、
 65 あるパラメータと関連している可能性が考えられる。
 66 また、養育者の言語入力における特徴、具体的には多
 67 様な語との共起しやすさ (Hills, 2012; Rosa et al.,
 68 2017) なども、潜在空間上の特定のパラメータと相関
 69 する可能性が期待される。

70 第三に、本研究ではアメリカ英語の MCDI データ
 71 を用いたが、他の言語データに本研究の手法を適用
 72 することも今後の展望として挙げられる。特に、多く
 73 の言語圏と異なり、名詞に対する動詞の優位性が報
 74 告されている中国語や韓国語などの言語 (Choi &
 75 Gopnik, 1995; Tardif, 1996) の場合、語彙発達が潜在空
 76 間上でどのように表現されるかは非常に興味深い。
 77 多言語間で潜在空間の特徴を比較することで、語彙
 78 発達の言語普遍性と個別性をより深く理解できる可
 79 能性がある。なお、Wordbank 上に日本語データは現
 80 状存在しないが、今後日本語データも公開されるこ
 81 とを強く期待する。特に、日本語の早期語彙は名詞優
 82 位である一方で、日本語には主語や目的語が省略可
 83 能であったり、行為動詞の意味範囲が英語に比べて
 84 狭いものが多かったりする等、動詞優位な側面も併
 85 存する (Hagihara et al., 2022b; Imai et al., 2005)。日本
 86 語の MCDI データが公開されることで、こうした特
 87 殊性を VAE の解析アプローチから議論できるように
 88 なるかもしれない。

1 第四に、特定のポピュレーションにおける語彙デ
 2 ータが、VAE の潜在空間上でどのように表現される
 3 かを調べることも今後の課題である。例えば、MCDI
 4 を用いて自閉スペクトラム (Jiménez et al., 2021) や
 5 レイト・トーカー (Jiménez & Hills, 2022a, 2022b; 奥
 6 村・小林, 2019) の語彙発達の特徴を議論した研究が
 7 あるが、本研究で構築した VAE の潜在空間上にその
 8 ような MCDI データを布置することで、定型発達児
 9 と比較した際の発達の質的な違いや想定される発達
 10 経路などを詳細に議論できる可能性がある。すなわ
 11 ち、本研究で得られた知見は、語彙発達の評価や予測、
 12 介入のためのツールとしても応用可能性が期待され
 13 る。

14 5. 結語

15 本研究では、VAE を MCDI データに適用すること
 16 により、乳幼児期の語彙発達の普遍性と個別性をよ
 17 り明確に、かつ定量的に描出できることを示した。本
 18 研究で提案した手法をより発展させることで、言語
 19 発達過程をより詳細に議論するのみならず、言語発
 20 達教育・支援への貢献も可能になると期待する。さら
 21 に、機械学習モデルを単なる回帰や分類の道具とし
 22 て使うのではなく、生成モデルとしての VAE の特質
 23 を最大限活用することで潜在空間の解釈性を追及し
 24 た点も、本研究の意義であると考えられる。近年、人工知
 25 能をいかにブラックボックスに留めずに、データの
 26 解釈・説明のための道具として使うかという議論が
 27 盛んに行われている (Tjoa & Guan, 2021)。本研究は、
 28 こうした議論をさらに推し進め、認知科学をより発
 29 展させることに寄与するだろう。

30 謝 辞

31 本研究は JSPS 科研費 (JP20H05002, JP21J00750,
 32 JP22K13664, JP23K11786) の助成を受けた。本研究の
 33 実施にあたり有益な指摘をくださった浅井怜斗氏、
 34 深田智氏に感謝申し上げます。

35 文 献

36 Ambridge, B., & Rowland, C. F. (2013). Experimental methods
 37 in studying child language acquisition. *WIREs Cognitive*
 38 *Science Interdisciplinary Reviews*, 4(2), 149–168.
 39 <https://doi.org/10.1002/wcs.1215>
 40 Arunachalam, S., Avtushka, V., Luyster, R. J., & Guthrie, W.
 41 (2022). Consistency and inconsistency in caregiver
 42 reporting of vocabulary. *Language Learning and*
 43 *Development*, 18(1), 81–96.

44 <https://doi.org/10.1080/15475441.2021.1931233>

45 Barrow, C. W., Björkenstam, K. N., & Strömbergsson, S. (2019).
 46 Subjective ratings of age-of-acquisition: exploring issues of
 47 validity and rater reliability. *Journal of Child Language*,
 48 46(2), 199–213.
 49 <https://doi.org/10.1017/S0305000918000363>
 50 Beckage, N., Smith, L., & Hills, T. (2011). Small worlds and
 51 semantic network growth in typical and late talkers. *PLoS*
 52 *One*, 6(5), e19348.
 53 <https://doi.org/10.1371/journal.pone.0019348>
 54 Bergelson, E., & Swingle, D. (2012). At 6–9 months, human
 55 infants know the meanings of many common nouns.
 56 *Proceedings of the National Academy of Sciences*, 109(9),
 57 3253–3258. <https://doi.org/10.1073/pnas.1113380109>
 58 Bleses, D., Makransky, G., Dale, P. S., Højen, A., & Ari, B. A.
 59 (2016). Early productive vocabulary predicts academic
 60 achievement 10 years later. *Applied Psycholinguistics*, 37(6),
 61 1461–1476. <https://doi.org/10.1017/S0142716416000060>
 62 Borovsky, A. (2022). Lexico-semantic structure in vocabulary
 63 and its links to lexical processing in toddlerhood and
 64 language outcomes at age three. *Developmental Psychology*,
 65 58(4), 607–630. <https://doi.org/10.1037/dev0001291>
 66 Brysbaert, M., Warriner, A. B., & Kuperman, V. (2014).
 67 Concreteness ratings for 40 thousand generally known
 68 English word lemmas. *Behavior Research Methods*, 46,
 69 904–911. <https://doi.org/10.3758/s13428-013-0403-5>
 70 Choi, S., & Gopnik, A. (1995). Early acquisition of verbs in
 71 Korean: A cross-linguistic study. *Journal of Child Language*,
 72 22, 497–529. <https://doi.org/10.1017/S0305000900009934>
 73 Deng, L. (2012). The MNIST database of handwritten digit
 74 images for machine learning research. *IEEE Signal*
 75 *Processing Magazine*, 29(6), 141–142.
 76 <https://doi.org/10.1109/MSP.2012.2211477>
 77 Fenson, L., Dale, P. S., Reznick, J. S., Thai, D., Bates, E., Hartung,
 78 J. P., Pethick, S., Rely, J. S. (1993). MacArthur
 79 communicative development inventories: User’s guide and
 80 technical manual. Singular Press.
 81 Frank, M. C., Braginsky, M., Yurovsky, D., & Marchman, V. A.
 82 (2016). Wordbank: An open repository for developmental
 83 vocabulary data. *Journal of Child Language*, 44(3), 677–694.
 84 <https://doi.org/10.1017/S0305000916000209>
 85 Frank, M. C., Braginsky, M., Yurovsky, D., & Marchman, V. A.
 86 (2021). Variability and consistency in early language
 87 learning: The Wordbank project. MIT Press.
 88 深田 智 (2018). “Let’s + 移動動詞” 表現と子どもの運動
 89 能力及び社会性の発達. 日本認知言語学会論文集, 18,
 90 555–560.
 91 Gentner, D. (1982). Why nouns are learned before verbs:
 92 Linguistic relativity versus natural partitioning. In S. A.
 93 Kuczaj II (Ed.), *Language development, Vol. 2: Language,*
 94 *thought, and culture* (pp. 301–334). Lawrence Erlbaum.
 95 Gentner, D., & Boroditsky, L. (2001). Individuation, relativity,
 96 and early word learning. In M. Bowerman & S. C. Levinson
 (20210226)

- (Eds.), *Language acquisition and conceptual development* (pp. 215–256). Cambridge University Press.
- 萩原 広道 (2021). 言語の発達 浅野大喜 (編) 人間発達学 (pp.140–175) メジカルビュー社
- 萩原 広道・阪上 雅昭 (2019). 初期言語発達における意味の全体性と可塑的变化：子どものことばに品詞構造はあるか？. *ベビーサイエンス*, 18, 14–24.
- Hagihara, H., Ishibashi, M., Moriguchi, Y., & Shinya, Y. (2022a). Object labeling activates young children’s scale errors at an early stage of verb vocabulary growth. *Journal of Experimental Child Psychology*, 222, 105471. <https://doi.org/10.1016/j.jecp.2022.105471>
- Hagihara, H., Yamamoto, H., Moriguchi, Y., & Sakagami, M. (2022b). When “shoe” becomes free from “putting on”: The link between early meanings of object words and object-specific actions. *Cognition*, 226, 105177. <https://doi.org/10.1016/j.cognition.2022.105177>
- Hills, T. (2012). The company that words keep: Comparing the statistical structure of child- versus adult-directed language. *Journal of Child Language*, 40(3), 586–604. <https://doi.org/10.1017/S0305000912000165>
- Hinton, G. E., & Salakhutdinov, R. R. (2006). Reducing the dimensionality of data with neural networks. *Science*, 313(5786), 504–507. <https://doi.org/10.1126/science.1127647>
- Imai, M., Haryu, E., & Okada, H. (2005). Mapping novel nouns and verbs onto dynamic action events: Are verb meanings easier to learn than noun meanings for Japanese children? *Child Development*, 76(2), 340–355. https://doi.org/10.1111/j.14678624.2005.00849_a.x
- Jiménez, E., Haebig, E., & Hills, T. T. (2021). Identifying Areas of Overlap and Distinction in Early Lexical Profiles of Children with Autism Spectrum Disorder, Late Talkers, and Typical Talkers. *Journal of Autism and Developmental Disorders*, 51(9), 3109–3125. <https://doi.org/10.1007/s10803-020-04772-1>
- Jiménez, E., & Hills, T. T. (2022a). Semantic maturation during the comprehension - expression gap in late and typical talkers. *Child Development*, 93(6), 1727–1743. <https://doi.org/10.1111/cdev.13815>
- Jiménez, E., & Hills, T. T. (2022b). Differences in the semantic structure of the speech experienced by late talkers, late bloomers, and typical talkers. *Developmental Psychology*, 59(1), 141–160. <https://doi.org/10.1037/dev0001446>
- Kachergis, G., Marchman, V. A., Dale, P. S., Mankewitz, J., & Frank, M. C. (2022). Online computerized adaptive tests of children’s vocabulary development in English and Mexican Spanish. *Journal of Speech, Language, and Hearing Research*, 65(6), 2288–2308. https://doi.org/10.1044/2022_JSLHR-21-00372
- Kingma, D. P., & Welling, M. (2013). Auto-encoding variational Bayes. *arXiv*. <https://doi.org/10.48550/arXiv.1312.6114>
- 小林 哲生・南 泰浩・杉山 弘晃 (2013). 語彙爆発の新しい視点：日本語学習児の初期語彙発達に関する縦断データ解析. *ベビーサイエンス*, 12, 40–64.
- Laing, C. (2019a). A role for onomatopoeia in early language: Evidence from phonological development. *Language and Cognition*, 11(2), 173–187. <https://doi.org/10.1017/langcog.2018.23>
- Laing, C. E. (2019b). Phonological motivation for the acquisition of onomatopoeia: An analysis of early words. *Language Learning and Development*, 15(2), 177–197. <https://doi.org/10.1080/15475441.2019.1577138>
- Ma, W., Golinkoff, R. M., Hirsh-Pasek, K., McDonough, C., & Tardif, T. (2009). Imageability predicts the age of acquisition of verbs in Chinese children. *Journal of Child Language*, 36(2), 405–423. <https://doi.org/10.1017/S0305000908009008>
- Marchman, V. A., & Fernald, A. (2008). Speed of word recognition and vocabulary knowledge in infancy predict cognitive and language outcomes in later childhood. *Developmental Science*, 11(3), F9–F16. <https://doi.org/10.1111/j.1467-7687.2008.00671.x>
- Mayor, J., & Mani, N. (2019). A short version of the MacArthur–Bates Communicative Development Inventories with high validity. *Behavior Research Methods*, 51, 2248–2255. <https://doi.org/10.3758/s13428-018-1146-0>
- Mitsven, S. G., Perry, L. K., Tao, Y., Elbaum, B. E., Johnson, N. F., & Messinger, D. S. (2022). Objectively measured teacher and preschooler vocalizations: Phonemic diversity is associated with language abilities. *Developmental Science*, 25(2), e13177. <https://doi.org/10.1111/desc.13177>
- Moore, C., Dailey, S., Garrison, H., Amatuni, A., & Bergelson, E. (2019). Point, walk, talk: Links between three early milestones, from observation and parental report. *Developmental Psychology*, 55(8), 1579–1593. <https://doi.org/10.1037/dev0000738>
- Morgan, P. L., Farkas, G., Hillemeier, M. M., Hammer, C. S., & Maczuga, S. (2015). 24 - month - old children with larger oral vocabularies display greater academic and behavioral functioning at kindergarten entry. *Child Development*, 86(5), 1351–1370. <https://doi.org/10.1111/cdev.12398>
- Nelson, K. (1973). Structure and strategy in learning to talk. *Monographs of the Society for Research in Child Development*, 38(1–2, Serial No 149), 136. <https://doi.org/10.2307/1165788>
- 小椋 たみ子 (2007). 日本の子どもの初期の語彙発達. 言語研究, 132, 29–53. https://doi.org/10.11435/gengo.132.0_29
- 小椋 たみ子・綿巻 徹 (2004). 日本語マッカーサー乳幼児言語発達質問紙「語と文法」手引 京都国際社会福祉センター
- 小椋 たみ子・綿巻 徹・稲葉 太一 (2016). 日本語マッカーサー乳幼児言語発達質問紙の開発と研究 ナカニシヤ出版

- 1 奥村 優子・小林 哲生 (2019). 日本語レイト・トーカーに
2 おける表出語彙のカテゴリ構成の検討. 音声言語医学,
3 60(3), 205–213. <https://doi.org/10.5112/jjlp.60.205>
- 4 Peters, A. M. (1977). Language learning strategies: Does the
5 whole equal the sum of the parts? *Language*, 53(3), 560–573.
6 <https://doi.org/10.2307/413177>
- 7 Rezende, D. J., Mohamed, S., & Wierstra, D. (2014). Stochastic
8 backpropagation and approximate inference in deep
9 generative models. *Proceedings of the 31st International
10 Conference on Machine Learning*, 32(1), 1278–1286.
- 11 Rosa, E., Tapia, J. L., & Perea, M. (2017). Contextual diversity
12 facilitates learning new words in the classroom. *PLoS One*,
13 12, e 01790 04.
14 <https://doi.org/10.1371/journal.pone.0179004>
- 15 Roy, B. C., Frank, M. C., DeCamp, P., Miller, M., & Roy, D.
16 (2015). Predicting the birth of a spoken word. *Proceedings
17 of the National Academy of Sciences*, 112(41), 12663–12668.
18 <https://doi.org/10.1073/pnas.1419773112>
- 19 阪上 雅昭・水谷 天智・萩原 広道・山本寛樹 (2023, March
20 24). 変分オートエンコーダーによる乳幼児の語彙発
21 達の解析. 日本物理学会 2023 年春季大会 オンライン
22 ン
- 23 Tardif, T. (1996). Nouns are not always learned before verbs:
24 Evidence from Mandarin speakers' early vocabularies.
25 *Developmental Psychology*, 32(3), 492–504.
26 <https://doi.org/10.1037/0012-1649.32.3.492>
- 27 Theakston, A. L., Lieven, E. V. M., Pine, J. M., & Rowland, C. F.
28 (2002). Going, going, gone: The acquisition of the verb 'go.'
29 *Journal of Child Language*, 29(4), 783–811.
30 <https://doi.org/10.1017/S030500090200538X>
- 31 Tjoa, E., & Guan, C. (2021). A survey on explainable artificial
32 intelligence (XAI): Toward medical XAI. *IEEE
33 Transactions on Neural Networks and Learning Systems*,
34 32(11), 4793-4813.
35 <https://doi.org/10.1109/TNNLS.2020.3027314>
- 36 Westermann, G., & Mareschal, D. (2014). From perceptual to
37 language-mediated categorization. *Philosophical
38 Transactions of the Royal Society B: Biological Sciences*,
39 369(1634), 20120391.
40 <https://doi.org/10.1098/rstb.2012.0391>
- 41 Zuniga-Montanez, C., Kita, S., Aussems, S., & Krott, A. (2021).
42 Beyond the shape of things: Infants can be taught to
43 generalize nouns by objects' functions. *Psychological
44 Science*, 32(7), 1073–1085.
45 <https://doi.org/10.1177/0956797621993107>
- 46

1 脚注

- 2 1. 脚注 1 なお、日本語版 MCDI の「語と文法」版
3 の対象年齢は 16~36 ヶ月である。
- 4 2. 脚注 2 図 1 では、encoder と decoder の間は正規
5 分布からのサンプリングという過程を経ていわ
6 ば断絶されており、バックプロパゲーションに必
7 要な微分ができない。そこで、reparameterization
8 trick (Kingma & Welling, 2013) と呼ばれる方法を
9 採る。これは、 \mathbf{z} を正規分布 $N(\boldsymbol{\mu}, \boldsymbol{\Sigma})$ から直接ランダ
10 ムサンプリングする代わりに、ランダムノイズ
11 $\boldsymbol{\varepsilon} \sim N(\mathbf{0}, \mathbf{I})$ を別に生成し、これを分散 $\boldsymbol{\Sigma}^2$ に掛け、
12 $\mathbf{z}_i = \boldsymbol{\mu}_i + \boldsymbol{\Sigma}_i \times \boldsymbol{\varepsilon}_i$ (i は潜在空間の次元数) としてモ
13 デルに潜り込ませる操作を指す。この操作により、
14 \mathbf{z} のサンプリング過程を模しつつ、 \mathbf{z} が $\boldsymbol{\mu}$ と $\boldsymbol{\Sigma}$ に対し
15 て確定的となり微分できるようになる。
- 16 3. 脚注 3 機械学習のデータセットとして広く用い
17 られている MNIST データ (Deng, 2012) の入力次
18 元は 784 次元であり、MCDI データと同程度と見
19 なせる。このデータを使った VAE のモデル
20 (<http://mbd.riken.jp/VAE/lecture.html>) を参考に本
21 研究における中間層の次元を定めた。
22

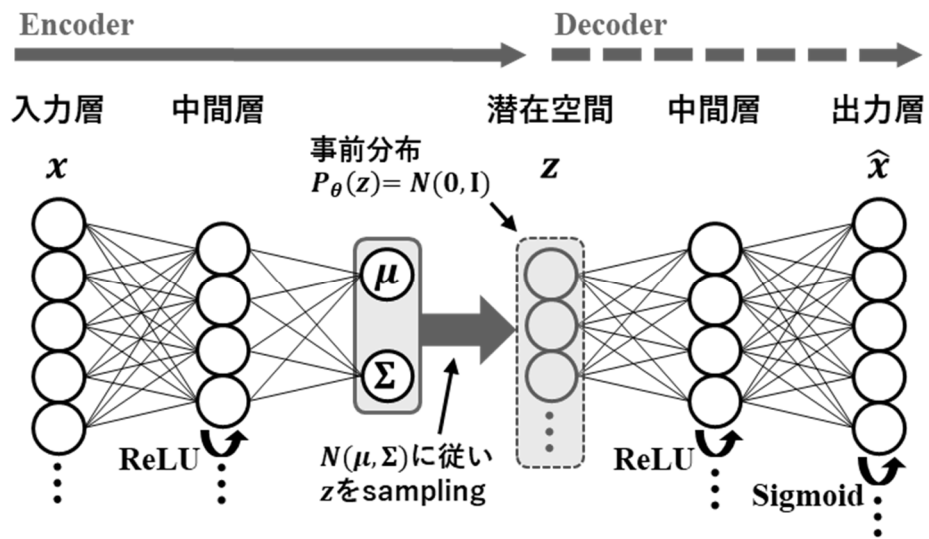
1 表 1

| 順位 | 外回り経路 (O→A) | | | 中央経路 (O→B) | | | 内回り経路 (O→C) | | |
|----|------------------|--------------|---------|-------------------|----------|---------|------------------|----------------|---------|
| | カテゴリー | 語彙項目 | 表出確率の増分 | カテゴリー | 語彙項目 | 表出確率の増分 | カテゴリー | 語彙項目 | 表出確率の増分 |
| 1 | Toys | ball | 0.526 | Toys | ball | 0.391 | Action Words | go | 0.225 |
| 2 | Games & Routines | bye | 0.359 | Clothing | shoe | 0.280 | Games & Routines | yes | 0.204 |
| 3 | Clothing | shoe | 0.339 | Games & Routines | no | 0.265 | Games & Routines | thank you | 0.177 |
| 4 | Sounds | moo | 0.328 | People | baby | 0.254 | Sounds | ouch | 0.170 |
| 5 | Games & Routines | no | 0.307 | Games & Routines | bye | 0.254 | Pronouns | me | 0.167 |
| 6 | Sounds | woof woof | 0.299 | Games & Routines | hi | 0.200 | People | baby | 0.164 |
| 7 | People | baby | 0.296 | Food & Drink | banana | 0.199 | Pronouns | mine | 0.155 |
| 8 | Toys | book | 0.280 | Toys | book | 0.199 | Clothing | shoe | 0.154 |
| 9 | Sounds | uh oh | 0.279 | People | grandma* | 0.186 | Games & Routines | shh/shush/hush | 0.151 |
| 10 | Food & Drink | banana | 0.266 | Descriptive Words | hot | 0.185 | Question Words | what | 0.149 |

2
3 [表タイトル] 各発達経路における表出確率の増分が大きかった語彙項目 (上位 10 語)

4

1 図 1

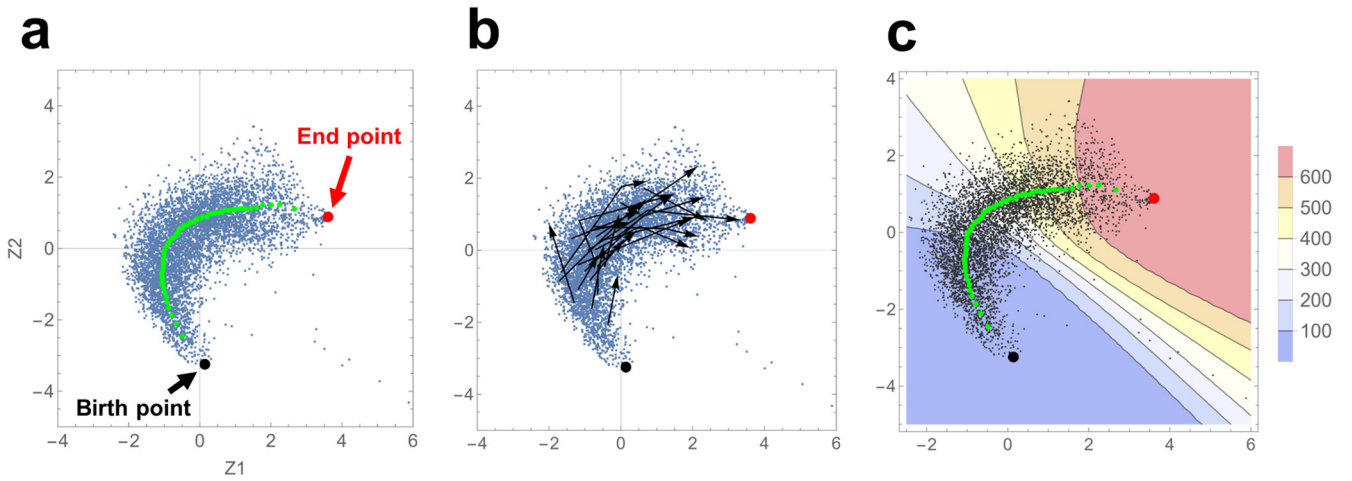


2

3 [図タイトル] 本研究で用いた VAE の概略図 [脚注 1]

4

1 図 2



2

3 [図タイトル] 本研究で採用した VAE モデルの潜在空間

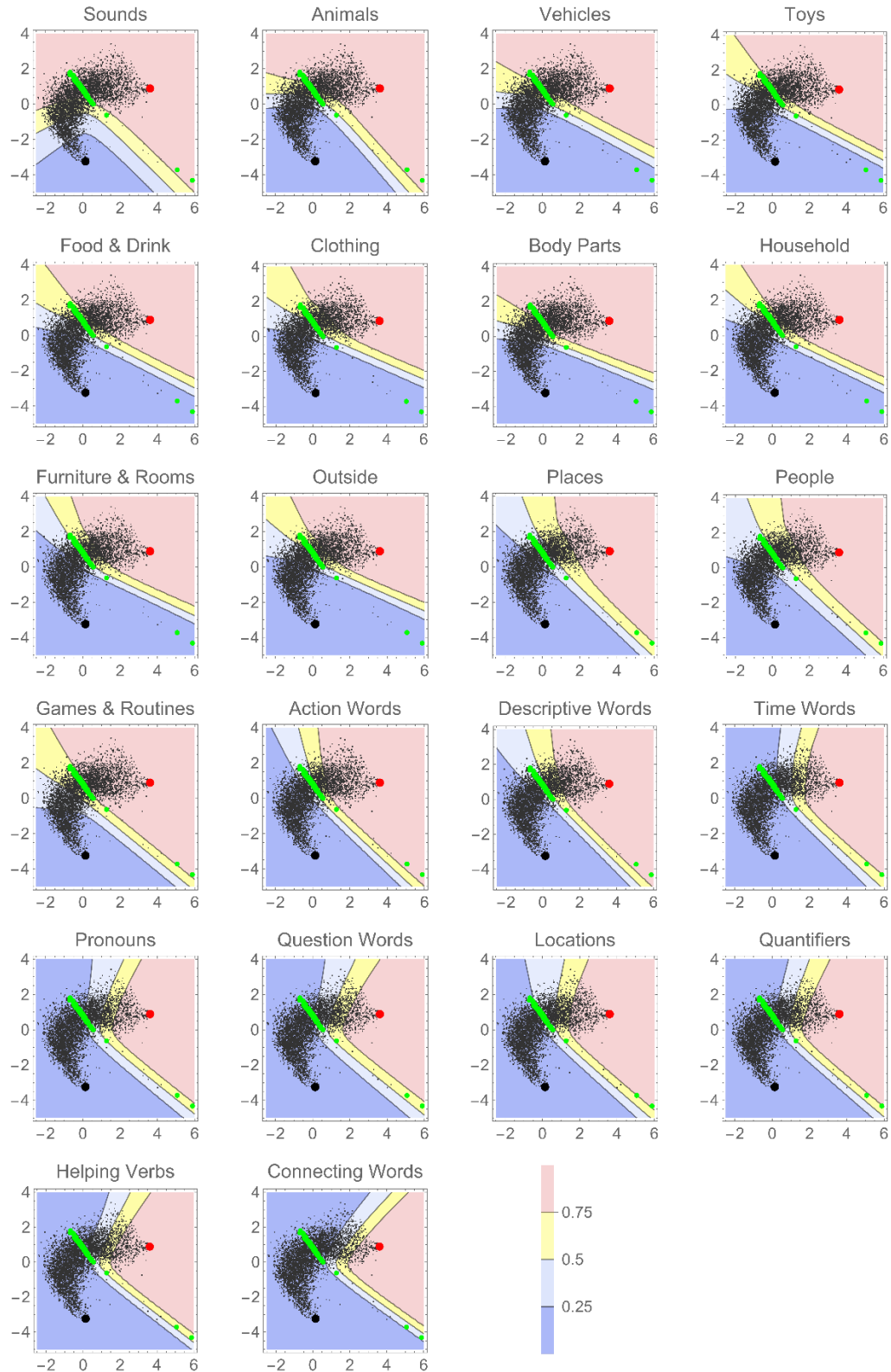
4 [キャプション] 表出語彙発達の擬次元構造. (a) 表出語彙数の始点 (birth point) および終点 (end point) を
 5 encoder によって投射し, その他の各点は実際の子どものデータ点 ($N = 5,520$) を投射した. (b) MCDI の縦断デー
 6 タの一部を, 月齢の向きにそって矢印で繋いだ. (c) decoder から求めた総表出語彙数について, 潜在空間上に等高
 7 線を重ね描きした. 緑の点は平均的な発達経路 (平均発達曲線) を示す.

8

9

10

1 図 3



2 [図タイトル] 各意味カテゴリーにおける潜在空間上の表出確率の分布

3 [キャプション] アメリカ英語版 MCDI を構成する 22 の意味カテゴリーについて、表出確率の平均が 25, 50, 75%

4 の場合の等高線を図示した (birth point, end point, および各データ点は図 2 と同様)。緑で示した帯状のデータ点

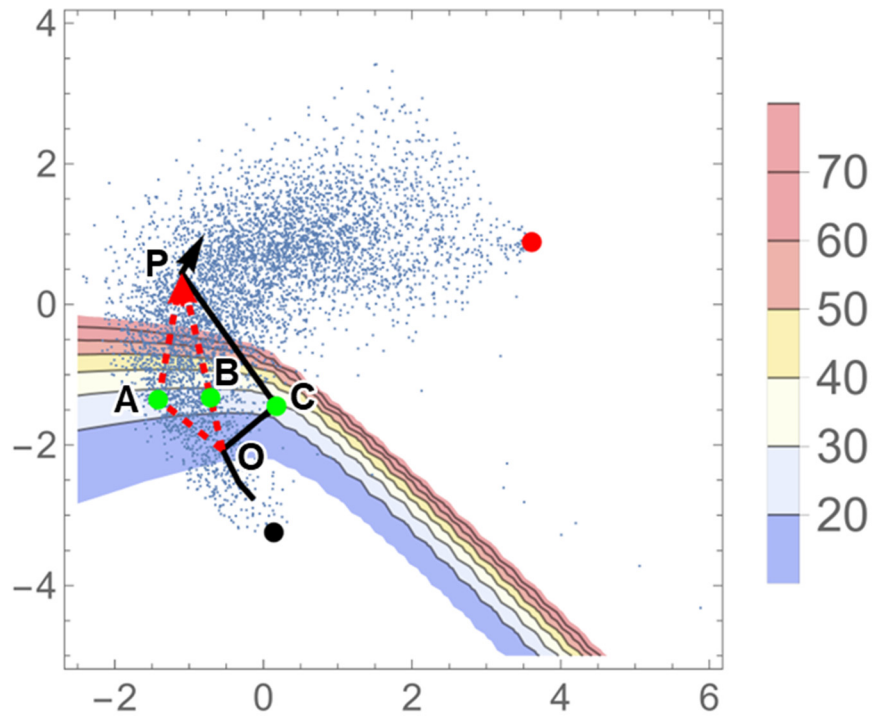
5 は、総表出語彙数が全体の約 50% (=330~350 語) となる点である。意味カテゴリーの並びは MCDI のリスト順に

6 準拠するが (Sounds, Animals, ... の順に、左上から右下へ)、概ね擬一次元構造の外側で発達が早い (=表出確率が

7 高い) ものから順に並んでおり、リストの後半になるほど内側で発達が早いものに推移している。

9

1 図 4



2

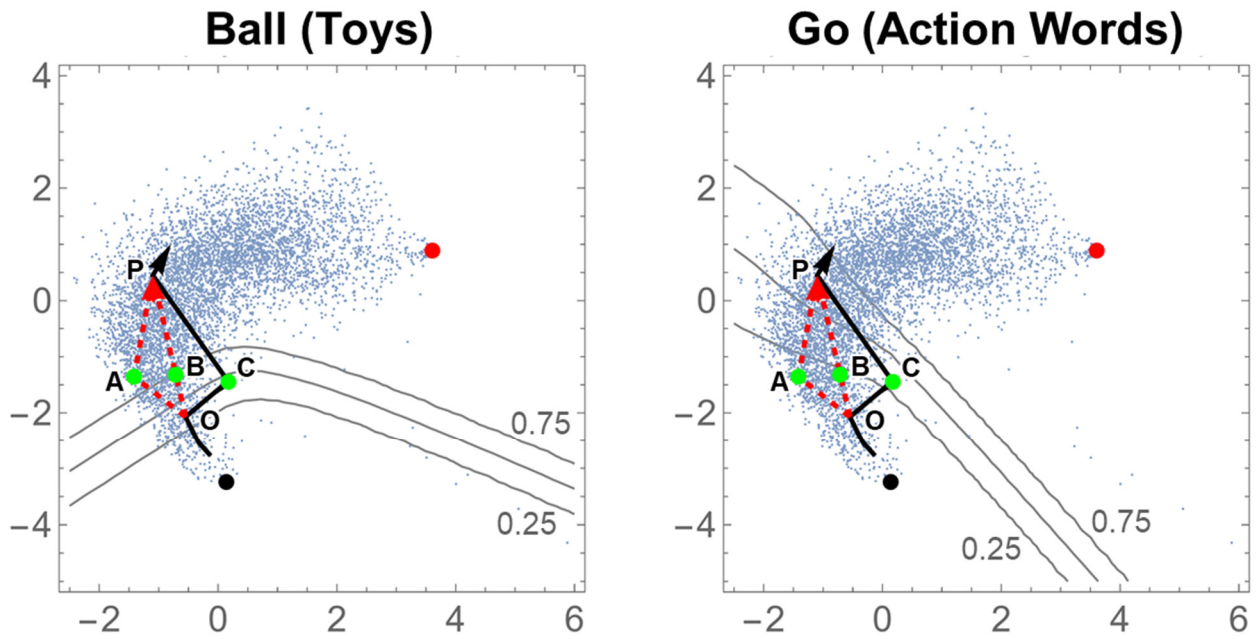
3 [図タイトル] 表出語彙発達の事例分析

4 [キャプション] 実線は実データの発達経路を, 点線は仮想的な発達経路を示す. 点 A, B は, decoder で求めた総
 5 表出語彙数が点 C と一致するように定めた. 等高線は総表出語彙数から描出した.

6

1 図 5

2



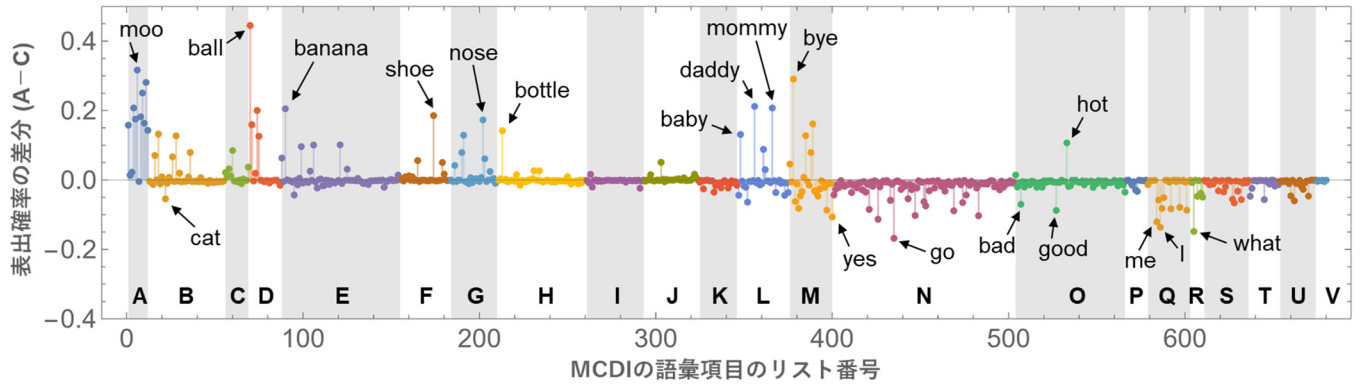
3

4 [図タイトル] 語彙項目“ball”と“go”の表出確率の分布

5 [キャプション] 各語の表出確率を等高線で示した. その他の凡例は図4と同じ.

6

1 図 6



2

3

4 [図タイトル] MCDI を構成する各語彙項目の表出確率の差分

5 [キャプション] 外回り (O→A) の表出確率から, 内回り (O→C) の表出確率を差し引いた. A) Sounds, B) Animals,

6 C) Vehicles, D) Toys, E) Food & Drink, F) Clothing, G) Body Parts, H) Household, I) Furniture & Rooms, J) Outside,

7 K) Places, L) People, M) Games & Routines, N) Action Words, O) Descriptive Words, P) Time Words, Q) Pronouns,

8 R) Question Words, S) Locations, T) Quantifiers, U) Helping Verbs, V) Connecting Words.

9

10

11

1 付録：VAE の学習手続き

2 VAE は元来、潜在空間の事後分布を変分ベイズ法
3 で推定するという文脈で提案されたものであり、そ
4 の過程で AE の構造が自ずと現れる。以下、この文脈
5 に沿ってネットワークの訓練過程について概説する。
6 VAE では、潜在変数 \mathbf{z} はあるパラメータ θ に従う確
7 率分布 $p_\theta(\mathbf{z})$ から得られたと仮定し、さらに観測デー
8 タ \mathbf{x} は、条件付き確率 $p_\theta(\mathbf{x}|\mathbf{z})$ から生成されたと考える。
9 高次元ベクトルの入力データセットを $\mathbf{X} = \{\mathbf{x}_i | i =$
10 $1, \dots, N\}$ とすると、 \mathbf{x} の周辺確率

$$11 \quad p_\theta(\mathbf{x}) = \int p_\theta(\mathbf{x}|\mathbf{z}) p_\theta(\mathbf{z}) d\mathbf{z} \quad (1)$$

12 から得られる対数尤度

$$13 \quad \log p_\theta(\mathbf{x}_1, \dots, \mathbf{x}_N) = \sum_{i=1}^N \log p_\theta(\mathbf{x}_i) \quad (2)$$

14 を最大化することで、潜在変数 \mathbf{z} に従うパラメータ θ
15 や確率分布 $p_\theta(\mathbf{x})$ を求めることがここでの目的とな
16 る。しかし、(1) の積分を直接計算することは難しい
17 ため、変分ベイズ法を用いて推定を行う。以下、VAE
18 における推定の手続きについて述べる。

19 まず、潜在変数の事前分布には多変量標準正規分
20 布 $p_\theta(\mathbf{z}) = N(\mathbf{0}, \mathbf{I})$ を置く。さらに、真の事後分布を近
21 似する確率分布として、 $q_\phi(\mathbf{z}|\mathbf{x})$ を導入する。ここで
22 ϕ は変分パラメータを表す。次に、潜在変数の事後確
23 率を $p_\theta(\mathbf{z}|\mathbf{x}) = q_\phi(\mathbf{z}|\mathbf{x}) = N(\boldsymbol{\mu}, \boldsymbol{\Sigma})$ という正規分布で
24 モデル化する。ニューラルネットワークでモデル化
25 された事後分布 $q_\phi(\mathbf{z}|\mathbf{x})$ は図 1 の encoder に対応して
26 おり、その出力は多変量正規分布の平均 $\boldsymbol{\mu}$ と分散 $\boldsymbol{\Sigma}^2$ に
27 なっている。他方、条件付き確率 $p_\theta(\mathbf{x}|\mathbf{z})$ は decoder に
28 対応している。したがって、 ϕ と θ はそれぞれ encoder,
29 decoder がもつ多次元パラメータとなる。

30 変分ベイズ法では、対数尤度 $\log p_\theta(\mathbf{x}_i)$ に

$$31 \quad \begin{aligned} & \log p_\theta(\mathbf{x}_i) > L(\theta, \phi; \mathbf{x}_i) \\ & = -D_{KL}(q_\phi(\mathbf{z}|\mathbf{x}_i) \parallel p_\theta(\mathbf{z})) \\ & \quad + E_{q_\phi(\mathbf{z}|\mathbf{x}_i)}[\log p_\theta(\mathbf{x}_i|\mathbf{z})] \end{aligned} \quad (3)$$

32 という変分下限 L が存在することを利用し、この L を
33 最大化するようにパラメータ ϕ 、 θ の学習を行う。こ
34 こで、第 1 項 D_{KL} はカルバック・ライブラー情報量で
35 あり、事前分布 $p_\theta(\mathbf{z})$ に近い事後分布 $q_\phi(\mathbf{z}|\mathbf{x}_i)$ を選ぶ
36 ための条件となっている。すなわち、encoder から生
37 成される \mathbf{z} の確率分布 $q_\phi(\mathbf{z}|\mathbf{x}) = N(\boldsymbol{\mu}, \boldsymbol{\Sigma})$ を、 $p_\theta(\mathbf{z}) =$
38 $N(\mathbf{0}, \mathbf{I})$ と比較し、これらが近くなるように学習する。
39 なお、第 1 項は $q_\phi(\mathbf{z}|\mathbf{x}) = p_\theta(\mathbf{z})$ のときに最小値 0 を
40 とる非負値であり、両者の分布が近いほど値は小さ

41 くなる。第 2 項 E は $\log p_\theta(\mathbf{x}_i|\mathbf{z})$ の期待値であり、
42 encoder および decoder で再構成された生成データ $\hat{\mathbf{x}}_i$
43 が、元の入力データ \mathbf{x}_i にどれだけ近いかを示す対数
44 尤度である。したがって、変分下限 L は、潜在変数 \mathbf{z} の
45 値の取り方が正規分布に近くなるように制約をかけ
46 る部分 (第 1 項) と、入出力データの差分を測る部分
47 (第 2 項) から構成されるということになる。
48